

## V-55 コンクリートアーチの時間依存性応力解析

|         |     |       |
|---------|-----|-------|
| 秋田大学大学院 | 学生員 | ○庄 永海 |
| 秋田大学    |     | 谷 佳子  |
| 秋田大学    |     | 佐藤 光弘 |

## 1. はじめに

コンクリートアーチはクリープ、乾燥収縮により、その断面力と変位が時間とともに変化する。本研究では、ライズ比を変化させた放物線アーチの時間依存性応力解析を行うことにより、コンクリート固定アーチの応力と変形の変化を明らかにするものである。

## 2. 解析方法

解析には、平面骨組の直線部材に関する有限要素法を用いた。部材断面の基準点Oは断面図心に設定する。

(1) 材齢  $t = t_0$  で、部材の剛性方程式は式(1)により表される。

$$\{X\} = [K]\{U\} + \{X_0\} \quad \dots \dots \dots (1)$$

ここで、 $\{X\}$ ：外力ベクトル、 $[K]$ ：部材剛性マトリックス、 $\{U\}$ ：節点変位、 $\{X_0\}$ ：荷重項である。

(2) 材齢  $t = t_0 \sim t$  の期間で、部材の剛性方程式は式(2)により表される。

$$\{\Delta X\} = [\bar{K}]\{\Delta U\} + \{\Delta X_0\} \quad \dots \dots \dots (2)$$

ここで、 $\{\Delta X\}$ ：外力ベクトルの変化量、 $[\bar{K}]$ ：材齢修正弾性係数を用いた部材剛性マトリックス、 $\{\Delta U\}$ ：節点変位の変化量、 $\{\Delta X_0\}$ ：クリープ、乾燥収縮による軸ひずみ、曲率の変化に対応する荷重項である。

アーチに対し、節点を多数設けることにより、直線の組み合わせにより近似できる。部材の基準点Oに軸力N、曲げモーメントMを作用したときの軸ひずみ  $\varepsilon_0$  と曲率  $\phi$  を用いて、クリープ、乾燥収縮によるひずみ変化を拘束する軸力と曲げモーメントは式(3)により表される。

$$\begin{cases} \Delta N \\ \Delta M \end{cases} = -\bar{E}_c \phi \begin{bmatrix} A_c & B_c \\ B_c & I_c \end{bmatrix} \begin{cases} \varepsilon_0 \\ \phi \end{cases} - \bar{E}_c \varepsilon_{cs} \begin{bmatrix} A_c \\ B_c \end{bmatrix} \quad \dots \dots \dots (3)$$

ここで、 $\bar{E}_c$  は材齢修正弾性係数である。

式(3)で求めた拘束力を逆向きに作用させることで、式(4)のように変化分の軸ひずみ、曲率が求まる。

$$\begin{cases} \Delta \varepsilon_0 \\ \Delta \phi \end{cases} = \frac{1}{\bar{E}(A\bar{I} - \bar{B}^2)} \begin{bmatrix} \bar{I} & -\bar{B} \\ -\bar{B} & \bar{A} \end{bmatrix} \begin{cases} -\Delta N \\ -\Delta M \end{cases} \quad \dots \dots \dots (4)$$

ここで、 $\bar{A}$ 、 $\bar{B}$ 、 $\bar{I}$  は材齢修正換算断面諸量である。この軸ひずみ、曲率の変化による変位  $\{\Delta D\}$  を用いて、荷重項は式(5)により表される。

$$\{\Delta X_0\} = -[T]^T [\bar{K}] \{\Delta D\} \quad \dots \dots \dots (5)$$

ここで、 $[T]^T$ ：変換マトリックスである。

## 3. 数値計算例

ライズ  $f$  の変化する支間一定のコンクリート放物線固定アーチを図-1に示す。等分布鉛直荷重を作用させ、アーチの時間依存性応力解析を行った。計算にあたり、次の諸数値を用いる。

支間  $L = 100m$ 、ライズ  $f_1 = 13.4m$ 、 $f_2 = 20.7m$ 、 $f_3 = 28.9m$ 、荷重  $q = 390KN/m$ 、コンクリートの弾性係数  $E(t_0) = 39 GPa$ 、クリープ係数  $\phi(t,t_0) = 2.0$ 、材齢係数  $\chi = 0.8$ 、乾燥収縮ひずみ  $\varepsilon(t,t_0) = -150 \times 10^{-6}$

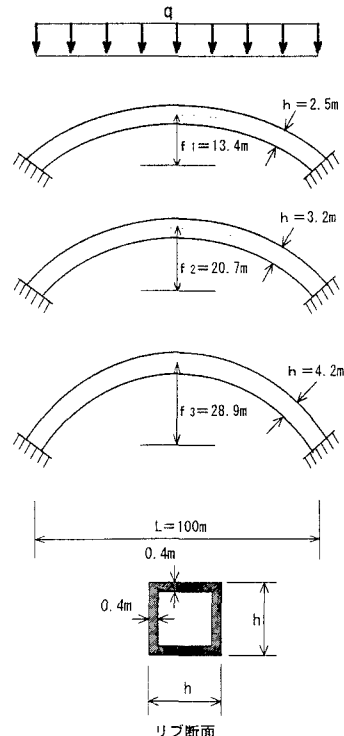


図-1 アーチの軸線と  
アーチリブの断面図

#### 4. 解析結果

表-1 と図-2～4 にそれぞれのアーチの支点と頂点における曲げモーメントと軸力及び乾燥収縮とクリープを考慮した変化量を示す。図-5～8 に同じく変位を示す。

表-1 解析の結果

| 放物線アーチ    |    | 荷重 $q$   |        |          | 乾燥収縮              |                 | クリープ              |                 |
|-----------|----|----------|--------|----------|-------------------|-----------------|-------------------|-----------------|
|           |    | M (MN-m) | N (MN) | 偏心量 e(m) | $\Delta M$ (MN-m) | $\Delta N$ (MN) | $\Delta M$ (MN-m) | $\Delta N$ (MN) |
| $f=13.4m$ | 頂点 | 22.0275  | -31.61 | -0.697   | 7.93              | 1.716           | -3.72E-08         | 1.18E-10        |
| $h=2.5m$  | 支点 | -41.9225 | -37.14 | 1.129    | -15.06            | 1.515           | -2.48E-08         | 1.16E-10        |
| $f=20.7m$ | 頂点 | 5.6635   | -22.78 | -0.249   | 2.207             | 0.298           | -2.13E-08         | 6.63E-11        |
| $h=3.2m$  | 支点 | -10.2525 | -29.99 | 0.342    | -3.961            | 0.2304          | -1.50E-08         | 7.10E-11        |
| $f=28.9m$ | 頂点 | 1.7155   | -16.71 | -0.103   | 0.658             | 0.061           | -1.63E-08         | -1.19E-11       |
| $h=4.2m$  | 支点 | -2.9625  | -25.68 | 0.115    | -1.102            | 0.04            | -1.57E-08         | -1.72E-11       |

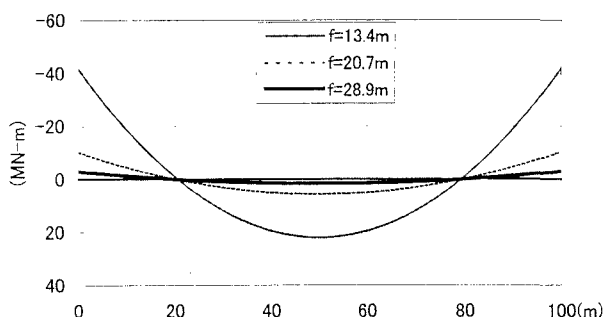


図-2  $t_0$ における曲げモーメント図

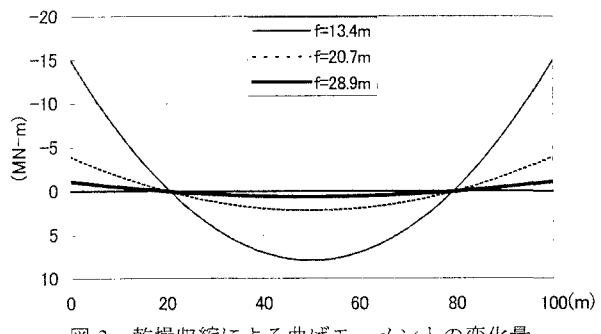


図-3 乾燥収縮による曲げモーメントの変化量

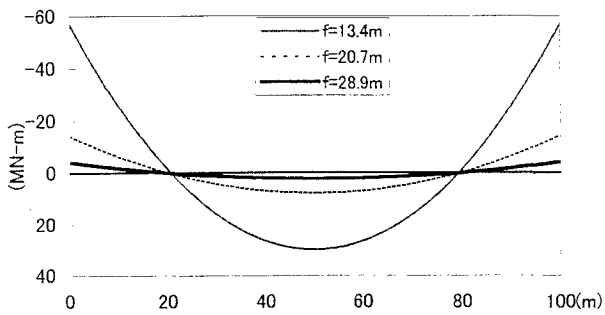


図-4 材齢  $t$ における全曲げモーメント図

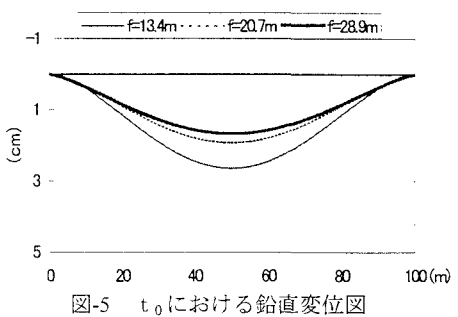


図-5  $t_0$ における鉛直変位図

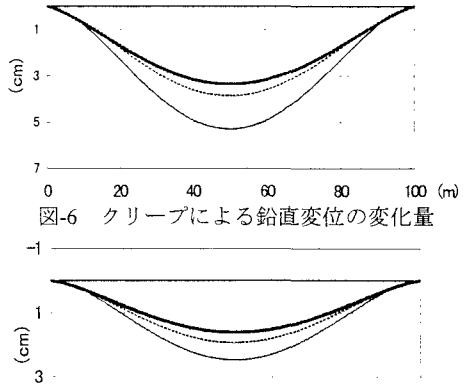


図-6 クリープによる鉛直変位の変化量

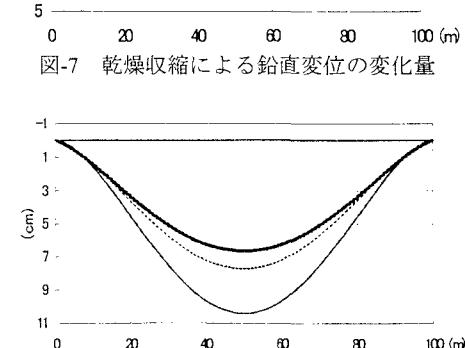


図-7 乾燥収縮による鉛直変位の変化量

図-8 材齢  $t$ における全鉛直変位図